

**НОВЫЙ ПОДХОД К РАСЧЕТУ СПЕКТРА  
ДИФФЕРЕНЦИАЛЬНОЙ ПОДВИЖНОСТИ  
ГОРЯЧИХ НОСИТЕЛЕЙ ЗАРЯДА:  
ПРЯМОЕ МОДЕЛИРОВАНИЕ ГРАДИЕНТА ФУНКЦИИ  
РАСПРЕДЕЛЕНИЯ МЕТОДОМ МОНТЕ-КАРЛО**

Стариков Е. В., Шикторов П. Н.

Разработан универсальный подход к расчету частотной зависимости тензора дифференциальной подвижности горячих носителей заряда полупроводника  $\hat{\mu}_{\alpha\beta}(\omega)$  одночастичным методом Монте-Карло. В основу метода положена процедура, позволяющая по результатам процесса моделирования траектории пробного электрона  $\mathbf{r}_t$  в импульсном пространстве проводить восстановление локальных значений градиента стационарной функции распределения  $\nabla_{\mathbf{p}} f(\mathbf{p})$  с помощью динамической векторной функции  $\zeta[\mathbf{r}_t]$ , текущее значение которой однозначно определяется информацией, накапливаемой по ходу моделирования траектории. Показано, что использование функции  $\zeta[\mathbf{r}_t]$  при временном усреднении вдоль траектории  $\mathbf{r}_t$  дает возможность непосредственно в процессе моделирования невозмущенного стационарного состояния проводить расчет корреляционной матрицы  $\hat{K}_{\alpha\beta}(s) = v_{\alpha}(\mathbf{r}_{t+s}) \zeta_{\beta}[\mathbf{r}_t]$ ,

Фурье-образ которой является тензором подвижности носителей заряда  $\hat{\mu}_{\alpha\beta}(\omega) = e \int_0^{\infty} \hat{K}_{\alpha\beta}(s) \times \times \exp(-i\omega s) ds$ . Приводятся результаты расчетов  $\hat{K}_{\alpha\beta}(s)$  и  $\hat{\mu}_{\alpha\beta}(\omega)$  в условиях прелетного резонанса и эффекта Ганна в  $n$ -GaAs и NEMA1a на ЦР в  $p$ -Ge. Обсуждаются преимущества и недостатки новой методики.

*Введение.* При рассмотрении вопросов, связанных с описанием взаимодействия горячих носителей заряда полупроводника (в дальнейшем для краткости — электронов) с СВЧ излучением, а также процессов усиления и генерации излучения центральное место занимает задача определения частотной зависимости тензора дифференциальной (слабосигнальной) подвижности  $\hat{\mu}_{\alpha\beta}(\omega)$ . Последняя задает связь между изменениями компонент средней дрейфовой скорости электронов  $\delta v_{\alpha}$  и вызвавшими их малыми гармоническими возмущениями внешнего электрического поля  $\delta E_{\beta} = E_{\beta} \exp(i\omega t)$  частоты  $\omega$ .

Предлагаемый в настоящей работе подход позволяет проводить расчет всей частотной зависимости тензора подвижности  $\hat{\mu}_{\alpha\beta}(\omega)$ , не выходя за рамки моделирования стационарного состояния горячих электронов методом Монте-Карло. В этом состоит его принципиальное отличие от предшествующих методик [1-4], где компоненты тензора подвижности определялись из соотношений типа  $\mu_{\alpha\beta}(\omega) = \delta v_{\alpha} / \delta E_{\beta}$  и для выделения отклика дрейфовой скорости  $\delta v$  на некоторой частоте  $\omega$  необходимо было дополнительно включать в процедуру расчета электрическое поле  $\delta E$ , возмущающее систему носителей заряда.

*Постановка задачи.* В линейном приближении компоненты тензора дифференциальной подвижности  $\mu_{\alpha\beta}(\omega)$  не должны зависеть от амплитуды возмущающего поля  $\delta E$  и, следовательно, могут быть полностью описаны через характеристики невозмущенного состояния горячих электронов. Согласно теории линейного отклика, построенной в рамках кинетического уравнения Больцмана для функции распределения (ФР) электронов в импульсном пространстве  $f(\mathbf{p})$

$$\frac{\partial f}{\partial t} + \mathbf{F} \nabla_{\mathbf{p}} f = \hat{S} \{f\} \quad (1)$$

(где  $\mathbf{F}$  — внешняя сила, действующая на электроны,  $\hat{S} \{f\}$  — столкновительный член), расчет тензора подвижности  $\hat{\mu}_{\alpha\beta}(\omega) = e \int_0^{\infty} \hat{K}_{\alpha\beta}(s) \exp(-i\omega s) ds$  сводится к вычислению фурье-образа от корреляционной матрицы [4, 5]

$$\hat{K}_{\alpha\beta}(s) = - \int \left[ \int v_{\alpha}(\mathbf{p}') P(\mathbf{p}', \mathbf{p}, s) d\mathbf{p}' \right] \frac{\partial}{\partial p_{\beta}} f_0(\mathbf{p}) d\mathbf{p}. \quad (2)$$

Здесь  $P(\mathbf{p}', \mathbf{p}, s)$  — вероятность перехода электрона из состояния с импульсом  $\mathbf{p}$  в состояние  $\mathbf{p}'$  за время  $s$ , т. е. функция Грина невозмущенного уравнения (1) с начальным условием  $P(\mathbf{p}', \mathbf{p}, 0) = \delta(\mathbf{p} - \mathbf{p}')$ ,  $f_0(\mathbf{p}) = P(\mathbf{p}, \mathbf{p}', \infty)$  — стационарная ФР электронов,  $v_{\alpha}(\mathbf{p}) = \partial \varepsilon(\mathbf{p}) / \partial p_{\alpha}$  — компоненты скорости электрона, находящегося в состоянии с импульсом  $\mathbf{p}$  и энергией  $\varepsilon(\mathbf{p})$ . Рассмотрим возможности реализации расчета корреляционной матрицы  $\hat{K}_{\alpha\beta}(s)$ , задаваемой выражением (2), в рамках одночастичного метода Монте-Карло.

Одночастичный метод Монте-Карло используется для расчета макроскопических характеристик горячих электронов в стационарном состоянии [6] и состоит в замене усреднения по ФР  $f_0(\mathbf{p})$  на усреднение по времени вдоль моделируемой на ЭВМ достаточно длинной траектории  $\mathbf{p}_t$ , описывающей движение одного пробного электрона в импульсном пространстве под действием внешних полей и процессов рассеяния. Такой подход позволяет легко реализовать расчеты корреляционных зависимостей типа

$$\langle \chi_s, \zeta \rangle = \int \left[ \int \chi(\mathbf{p}') P(\mathbf{p}', \mathbf{p}, s) d\mathbf{p}' \right] \zeta(\mathbf{p}) f_0(\mathbf{p}) d\mathbf{p} \quad (3)$$

от двух динамических характеристик электрона [ $\chi(\mathbf{p})$  и  $\zeta(\mathbf{p})$ ], поскольку в терминах усреднения вдоль траектории  $\mathbf{p}_t$  коррелятор (3) сводится к вычислению интеграла [7]

$$\frac{1}{T-s} \int_0^{T-s} \chi(\mathbf{p}_{t+s}) \zeta(\mathbf{p}_t) dt, \quad (4)$$

где  $T$  — полное время, в течение которого моделируется траектория пробного электрона.

Из сопоставления (2) и (3) следует, что при расчете  $\hat{K}_{\alpha\beta}(s)$  методом Монте-Карло вычисление интеграла (4) на траектории  $\mathbf{p}_t$  нужно проводить от компонент векторных функций  $\chi(\mathbf{p}) = \mathbf{v}(\mathbf{p})$  и  $\zeta(\mathbf{p}) = \nabla_{\mathbf{p}} \ln f_0(\mathbf{p})$ . Последняя не есть динамическая характеристика электрона и может быть найдена только при условии, что задача определения стационарной ФР решена. Однако сам метод усреднения по истории пробного электрона — это по сути отказ от решения задачи определения стационарной ФР, которая может быть лишь восстановлена по результатам моделирования  $\mathbf{p}_t$  и то только в огрубленном виде.

Чтобы избежать противоречия и не выйти за рамки одночастичного метода Монте-Карло, необходимо исключить из процедуры расчета  $\hat{K}_{\alpha\beta}(s)$  величину  $\nabla_{\mathbf{p}} \ln f_0(\mathbf{p})$ , заменив ее неким динамическим эквивалентом  $\zeta[\mathbf{p}_t]$ , значения которого на траектории  $\mathbf{p}_t$  определяет только та информация, которая может быть получена по ходу моделирования траектории. Поскольку моделируется стационарное состояние, нам нет необходимости требовать, чтобы текущее значение  $\zeta[\mathbf{p}_t]$  в точности соответствовало бы значению  $\nabla_{\mathbf{p}} \ln f_0(\mathbf{p})$  в точке  $\mathbf{p} = \mathbf{p}_t$ , и достаточно потребовать выполнения этого равенства лишь для среднего значения  $\zeta[\mathbf{p}_t]$  по всем участкам траектории  $\mathbf{p}_t$ , которые заполняют окрестность импульсного пространства с единичным объемом вокруг произвольной точки  $\mathbf{p}$ . Учитывая, что плотность заполнения траекторией  $\mathbf{p}_t$  элементарной области с объемом  $\delta\mathbf{p}$  пропорциональна  $f_0(\mathbf{p}) \delta\mathbf{p}$ , придем к условию, которому должна удовлетворять искомая функция,

$$\lim_{T \rightarrow \infty} \frac{1}{T} \int_0^T \zeta [p_t] Z(p_t, \delta p) dt = \nabla_p \ln f_0(p) f_0(p) \delta p \equiv \nabla_p f_0(p) \delta p, \quad (5)$$

где

$$Z(p_t, \delta p) = \begin{cases} 1 & \text{при } p_t \in \delta p, \\ 0 & \text{при } p_t \notin \delta p. \end{cases}$$

В рамках метода Монте-Карло условие (5) означает, что  $\zeta [p_t]$  должна осуществлять прямое моделирование градиента стационарной ФР, а ее использование в качестве весового множителя при временном усреднении произвольной динамической характеристики электрона  $A(p)$  эквивалентно вычислению интеграла  $\int A(p) \nabla_p f_0(p) dp$  или, что то же самое,  $\int \nabla_p A(p) f_0(p) dp$ .

*Функция, моделирующая градиент стационарного распределения электронов.* Для простоты ограничимся случаем, когда разогрев электронов происходит в постоянном электрическом поле  $E_0$ , т. е. в (1)  $F = eE_0$ . Столкновительный член кинетического уравнения (1) запишем в виде суммы по всем механизмам рассеяния

$$\hat{S}(f) = -\nu(p) f_0(p) + \sum_i \int S_i(p', p) f_0(p') dp'. \quad (6)$$

Здесь  $\nu(p) = \sum_i \int S_i(p, p') dp'$  — скорость ухода электрона из состояния  $p$  в результате рассеяний,  $S_i(p', p) = \frac{2\pi}{\hbar} B_i(p', p) \delta[\varepsilon(p') - \varepsilon(p) \pm \hbar\omega_i]$  — вероятность, с которой электрон за единицу времени перейдет из состояния  $p'$  в состояние  $p$  на  $i$ -м механизме рассеяния,  $B_i(p', p)$  — квадрат матричного элемента такого перехода,  $\varepsilon(p')$  и  $\varepsilon(p)$  — энергии электрона в начальном и конечном состояниях,  $\hbar\omega_i$  — изменение энергии при рассеянии. Воспользовавшись выражением (6) для столкновительного члена, запишем формальное решение уравнения (1) в виде интеграла по вероятным траекториям свободного пробега электронов [8]

$$f(p, t) = \sum_i \int_{-\infty}^t dt' \int dp' \int dp'' \{T(p, p', t - t') S_i(p'', p') f(p'', t')\}. \quad (7)$$

где

$$T(p, p', t - t') = \delta[p' - p + eE_0(t - t')] \exp \left\{ - \int_0^{t-t'} \nu(p' + eE_0\tau) d\tau \right\} \quad (8)$$

— вероятность найти электрон, совершающий свободное движение, в состоянии  $p$  в момент времени  $t$  при условии, что он начал движение из точки  $p'$  в момент времени  $t'$ .

Введем обозначение  $\zeta(p, t) = \nabla_p \ln f(p, t)$ , тогда градиент от  $f(p, t)$  можно записать как  $\nabla_p f(p, t) = \zeta(p, t) f(p, t)$ . Предположим, что на каждом свободном пробеге электрона можно задать однозначно определенную начальными условиями функцию  $\zeta [p_t]$ , моделирующую градиент ФР. Потребуем, чтобы в соответствии с (5) среднее значение этой функции по всем возможным траекториям, которые могут пройти через точку  $p$  в момент  $t$ , было бы равно  $\zeta(p, t)$ .

Поскольку вероятность обнаружить электрон в точке  $p$  в момент  $t$  равна  $f(p, t)$ , то, проводя усреднение  $\zeta [p_t]$  по вероятным свободным пробегам, получаем

$$\begin{aligned} \sum_i \int_{-\infty}^t dt' \int dp' \int dp'' \{ \zeta [p_t] T(p, p', t - t') S_i(p'', p') f(p'', t') \} = \\ = \zeta(p, t) f(p, t) = \nabla_p f(p, t). \end{aligned} \quad (9)$$

С другой стороны, выражение для  $\nabla_{\mathbf{p}} f(\mathbf{p}, t)$  найдем, дифференцируя обе части (7) по  $\mathbf{p}$ . После несложных преобразований (см. Приложение) получаем

$$\nabla_{\mathbf{p}} f(\mathbf{p}, t) = \sum_i \int_{-\infty}^t dt' \int d\mathbf{p}' \int d\mathbf{p}'' \{ [\mathbf{G}(\mathbf{p}', t-t') + \mathbf{Z}^i(\mathbf{p}'', \mathbf{p}') + \hat{D}(\mathbf{p}'', \mathbf{p}') \zeta(\mathbf{p}'', t')] T(\mathbf{p}, \mathbf{p}', t-t') S_i(\mathbf{p}'', \mathbf{p}') f(\mathbf{p}'', t') \}, \quad (10)$$

где

$$\mathbf{G}(\mathbf{p}', t-t') = - \int_0^{t-t'} \nabla_{\mathbf{p}} [\nu(\mathbf{p}' + e\mathbf{E}_0\tau)] d\tau, \quad (11)$$

а выражения для матричной  $\hat{D}_{\alpha\beta}(\mathbf{p}'', \mathbf{p}')$  и векторной  $\mathbf{Z}^i(\mathbf{p}'', \mathbf{p}')$  функций, зависящих от импульса электрона до ( $\mathbf{p}''$ ) и после ( $\mathbf{p}'$ ) рассеяния, приведены в Приложении [см. формулы (II.3) и (II.4) соответственно]. Сопоставляя (10) и (11), получаем закон изменения искомой функции  $\zeta[\mathbf{p}_i]$  на свободном пробеге, который следует за актом рассеяния электрона из состояния  $\mathbf{p}''$  в состояние  $\mathbf{p}'$  за счет  $i$ -го механизма:

$$\zeta[\mathbf{p}_i] = \mathbf{G}(\mathbf{p}', t-t') + \mathbf{Z}^i(\mathbf{p}'', \mathbf{p}') + \hat{D}(\mathbf{p}'', \mathbf{p}') \zeta(\mathbf{p}'', t'). \quad (12)$$

Здесь два последних члена выполняют роль начального условия для  $\zeta[\mathbf{p}_i]$  на пробеге. Второй из них, т. е.  $\hat{D}(\mathbf{p}'', \mathbf{p}') \zeta(\mathbf{p}'', t')$ , определяется значением  $\zeta(\mathbf{p}'', t')$  в точке  $\mathbf{p}''$ , из которой электрон в результате акта рассеяния попал на траекторию очередного свободного пробега. Очевидно, что  $\zeta(\mathbf{p}'', t')$  вновь можно представить как среднее от моделирующих функций  $\zeta[\mathbf{p}_i]$ , определенных на тех траекториях свободного пробега, двигаясь по которым, электрон попадает в состояние  $\mathbf{p}''$  в момент  $t'$ . Последнее означает, что при рассмотрении всей совокупности вероятных траекторий свободного пробега как последовательности свободных пробегов, реализующихся в рамках достаточно длинной траектории движения одного пробного электрона  $\mathbf{p}_i$ , в (12) необходимо заменить  $\zeta(\mathbf{p}'', t')$  на значение  $\zeta[\mathbf{p}_i]$  в конце свободного пробега, предшествовавшего последнему акту рассеяния. Таким образом, получаем замкнутый на себя алгоритм определения функции  $\zeta[\mathbf{p}_i]$ , удовлетворяющей условию (5). Текущее значение  $\zeta[\mathbf{p}_i]$  однозначно задается историей движения пробного электрона, предшествовавшей данному моменту времени.<sup>1</sup> Выбор исходного значения  $\zeta[\mathbf{p}_i]$  в начале процесса моделирования достаточно произволен; например, в качестве начального можно взять и нулевой вектор. Это связано с тем, что исходное значение  $\zeta[\mathbf{p}_i]$  сравнительно быстро забывается, как правило, по прошествии нескольких актов рассеяния.

Отметим, что полученное выше выражение (12) применимо только в отсутствие внешнего магнитного поля. При наличии последнего вывод зависимости  $\zeta[\mathbf{p}_i]$  аналогичен рассмотренному, хотя окончательное выражение, которое мы здесь не приводим, принимает более сложный вид.

**Численное моделирование.** Проиллюстрируем возможность предложенной методики результатами расчетов пролетного резонанса (рис. 1) и эффекта Ганна (рис. 2) в  $n$ -GaAs, а также НЕМАГа на ЦР в  $p$ -Ge (рис. 3), когда разогрев носителей заряда во внешних полях приводит к образованию отрицательной дифференциальной подвижности (ОДП). Сопоставление зависимостей  $\text{Re } \mu_{xx}(\omega)$ , представленных на рис. 1—3, с результатами предшествующих работ [2, 9—11], в которых исследовалась частотная зависимость подвижности  $\mu_{xx}(\omega)$  в области ОДП путем расчета отклика дрейфовой скорости  $\delta v$  на дополнительное переменное СВЧ поле или ступенчатое переключение греющего поля, показывает

<sup>1</sup> Использование при временном усреднении в методе Монте-Карло функций, зависящих от предыстории движения пробного электрона (например, таких, как  $\zeta[\mathbf{p}_i]$ ), не ведет к нарушению принципа марковости. Последний заключается в требовании, чтобы вероятности любых событий не зависели от предыстории движения, и относится только к построению траектории блуждания пробного электрона  $\mathbf{p}_i$ , не имея ничего общего с информацией, которую можно собирать в одних областях импульсного пространства и переносить по траектории  $\mathbf{p}_i$  в другие области.

в пределах погрешности расчетов идентичность результатов. Важно отметить, что прямой расчет отклика  $\delta v$  на возмущение  $\delta E$  не гарантирует линейности полученных характеристик и требует, как правило, достаточно больших значений  $\delta E$  (не менее 10—20 % от амплитуды греющего поля), чтобы обеспечить выделение отклика скорости на фоне статистических флуктуаций, свойственных методу Монте-Карло. Предлагаемая методика позволяет также значительно сократить затраты времени работы ЭВМ, необходимые для проведения расчетов  $\mu_{\alpha\beta}(\omega)$ . Например, для рис. 1 и 3 на расчет всей частотной зависимости  $\mu_{\alpha\beta}(\omega)$  затрачено времени ЭВМ на 1.5 порядка меньше, чем это требовалось при расчете  $\mu_{xx}(\omega)$  только в области ОДП в работах [9, 10]. Для БЭСМ-6 это составляет примерно 0.5 и 15—20 ч соответственно. Не менее важной особенностью

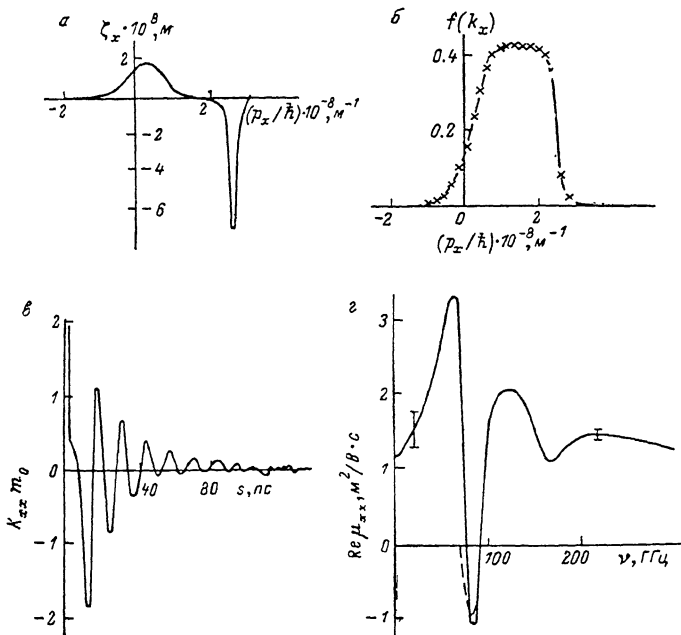


Рис. 1. Пролетный резонанс в n-GaAs.

$E_x=120$  В/см,  $T=10$  К,  $N_T=0$ , модель [9]. а — производная функции распределения  $\zeta_x(p_x)$ , полученная из моделирования  $\zeta[p_i]$ ; б — «истинная» (сплошная кривая) и восстановленная по  $\zeta_x$  (крестики) функция распределения  $f(p_x)$ ; в — зависимость от времени  $t$  продольной компоненты корреляционной матрицы  $K_{xx}(t)$  (в единицах обратной эффективной массы); г — зависимость реальной части продольной дифференциальной подвижности  $Re \mu_{xx}$  от частоты  $\nu$ , штриховая линия — результат работы [9].

предложенного метода является возможность контролировать правильность и внутреннюю согласованность процедуры, проводя расчет одних и тех же кинетических характеристик различными методами временного усреднения. Например, среднюю дрейфовую скорость электронов можно рассчитывать как  $\langle v \rangle = v(p_i)^t$  и как  $\langle v \rangle = -\varepsilon(p) \zeta[p_i]^t$ . Более того, и сама ФР может быть получена как обычной методикой (рис. 1, б, сплошная кривая), так и путем интегрирования (рис. 1, б, крестики) компонент градиента ФР (рис. 1, а), полученных в результате усреднения значений  $\zeta[p_i]$  по элементарным объемам импульсного пространства в соответствии с (5).

В заключение отметим и недостатки процедуры. К основным из них следует отнести появление в ряде случаев резких всплесков амплитуды  $|\zeta[p_i]|$ , на 2—3 порядка превышающих среднее значение этой величины. Они возникают, во-первых, когда электрон с очень малой энергией поглощает фонон, и являются следствием расходимости множителя  $1/(v(p'') \cdot p'')$  в (II. 3), (II. 4) при  $\varepsilon(p'') \rightarrow 0$ , во-вторых, когда траектория свободного пробега проходит в непосредственной окрестности точек импульсного пространства, где пересекаются сепаратрисы, разделяющие пространство на области с различным характером циклотронного вращения. Последнее, например, имеет место в го-

ффрированной валентной зоне Ge при наличии магнитного поля  $\mathbf{B} \parallel \mathbf{E}$  [11]. Вероятность появления таких выбросов очень мала, однако, чтобы их вклад при временном усреднении затерся, необходимо либо увеличивать в несколько раз выше обычного время моделирования траектории  $\mathbf{p}_i$ , либо дополнительно использовать элементы симметрии задачи, позволяющие их затереть сразу. Наиболее простой способ, не влияющий на окончательный результат, — не допускать при моделировании траектории  $\mathbf{p}_i$  реализации ситуаций, когда выброс должен произойти.

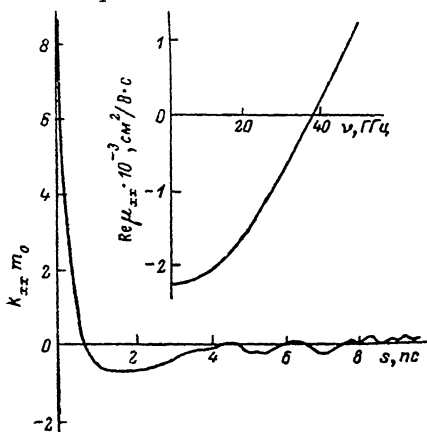


Рис. 2. Эффект Ганна в  $n$ -GaAs,  $E_x = 4$  кВ/см,  $T = 10$  К,  $N_I = 0$ , модель [\*].

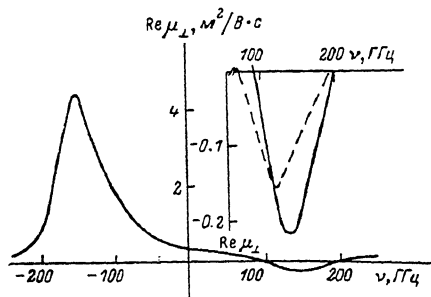


Рис. 3. Частотная зависимость поперечной дифференциальной подвижности для волны круговой поляризации в  $p$ -Ge.

$T = 4.2$  К,  $E_0 \parallel \mathbf{B} \parallel [001]$ ,  $E_0 = 150$  В/см,  $B = 1.65$  Т,  $N_I = 0$ , модель [10]. На вставке — область ОДП в более крупном масштабе. Сплошная линия — расчет настоящей работы, штриховая — расчет [10] при  $T_0 = 10$  К,  $N_I = 1.3 \cdot 10^{14}$  см $^{-3}$ ,  $p = 0.7 \cdot 10^{14}$  см $^{-3}$ ,  $E_{\perp}/E_0 = 0.4$ .

## Приложение

Дифференцирование правой части выражения (7) по импульсу  $\mathbf{p}$  сводится к замене в операторе свободного пробега  $T(\mathbf{p}, \mathbf{p}', t-t')$  дельта-функции  $\delta[\mathbf{p}' - \mathbf{p} + e\mathbf{E}_0(t-t')]$  на ее градиент по  $\mathbf{p}'$ , взятый с обратным знаком. Выполнив такую замену и затем взяв интеграл по  $d\mathbf{p}'$  по частям, получаем

$$\begin{aligned} \nabla_{\mathbf{p}} f(\mathbf{p}, t) = & \sum_i \int_{-\infty}^t dt' \int d\mathbf{p}' T(\mathbf{p}, \mathbf{p}', t-t') \left\{ \int [\mathbf{G}(\mathbf{p}', t-t') + \nabla_{\mathbf{p}'} \ln B_i(\mathbf{p}'', \mathbf{p}')] \times \right. \\ & \times S_i(\mathbf{p}'', \mathbf{p}') f(\mathbf{p}'', t') d\mathbf{p}'' - \frac{2\pi}{\hbar} \mathbf{v}(\mathbf{p}') \int B_i(\mathbf{p}'', \mathbf{p}') \times \\ & \left. \times f(\mathbf{p}'', t') \frac{d}{d\varepsilon} \left( \frac{d}{d\varepsilon} (\mathbf{p}'') \right) \delta[\varepsilon(\mathbf{p}') - \varepsilon(\mathbf{p}'') \pm \hbar\omega_i] d\mathbf{p}'' \right\}. \end{aligned} \quad (\text{П. 1})$$

Выражение для  $\mathbf{G}(\mathbf{p}', t-t')$  приведено в основном тексте [см. (14)]. Чтобы избавиться во втором слагаемом (П. 1) от производной по энергии, учтем, что при фиксированном направлении  $\mathbf{p}$  энергия  $\varepsilon(\mathbf{p})$  есть однозначная монотонная функция модуля импульса  $|\mathbf{p}|$ , поэтому значение энергии  $\varepsilon$  и ориентацию вектора  $\mathbf{p}$  (определяемую, например, азимутальным  $\vartheta$  и радиальным  $\varphi$  углами) можно рассматривать как независимые координаты положения электрона в импульсном пространстве, т. е.  $\mathbf{p} = \mathbf{p}(\varepsilon, \vartheta, \varphi)$ .

Последнее позволяет дифференцирование по энергии выразить через градиент в импульсном пространстве

$$\frac{d}{d\varepsilon} \rightarrow \frac{d\mathbf{p}}{d\varepsilon} \nabla_{\mathbf{p}} \rightarrow \frac{d|\mathbf{p}|}{d\varepsilon} \Big|_{\vartheta, \varphi} \left( \frac{d\mathbf{p}}{d|\mathbf{p}|} \nabla_{\mathbf{p}} \right) \rightarrow \frac{\mathbf{p} \nabla_{\mathbf{p}}}{\mathbf{v}(\mathbf{p}) \cdot \mathbf{p}}. \quad (\text{П. 2})$$

Здесь учтено, что  $dp/d|\mathbf{p}| = \mathbf{p}/|\mathbf{p}|$ ,  $d\varepsilon|_{\mathbf{p}, \mathbf{p}'} = \mathbf{v}(\mathbf{p}) \mathbf{p}' d|\mathbf{p}'|/|\mathbf{p}'|$  и  $\mathbf{v}(\mathbf{p}) = \nabla_{\mathbf{p}}\varepsilon(\mathbf{p})$ . Интегрируя с учетом замены (II. 2) второе слагаемое в (II. 1) по частям и собирая все члены в соответствии с обозначениями выражения (10), получаем

$$\hat{D}_{\alpha\beta}(\mathbf{p}'', \mathbf{p}') = \frac{v_{\alpha}(\mathbf{p}') p'_{\beta}}{\mathbf{v}(\mathbf{p}'') \cdot \mathbf{p}'}, \quad (\text{II. 3})$$

$$\begin{aligned} Z^i(\mathbf{p}'', \mathbf{p}') = & \nabla_{\mathbf{p}} \ln B_i(\mathbf{p}'', \mathbf{p}') + \frac{\mathbf{v}(\mathbf{p}')}{\mathbf{v}(\mathbf{p}'') \cdot \mathbf{p}'} \times \\ & \times \left[ \mathbf{p}'' \nabla_{\mathbf{p}''} \ln B_i(\mathbf{p}'', \mathbf{p}') + \frac{2\mathbf{v}(\mathbf{p}'') \mathbf{p}'' - \mathbf{p}'' \hat{m}^{-1}(\mathbf{p}'') \mathbf{p}''}{\mathbf{v}(\mathbf{p}'') \mathbf{p}''} \right], \end{aligned} \quad (\text{II. 4})$$

где  $\hat{m}_{\alpha\beta}^{-1}(\mathbf{p}'') = \partial^2\varepsilon(\mathbf{p}'')/\partial p''_{\alpha}\partial p''_{\beta}$  — компоненты тензора обратной эффективной массы.

#### Л и т е р а т у р а

- [1] Lehwohl P. A. — J. Appl. Phys., 1973, v. 44, N 4, p. 1744—1752.
- [2] Rees H. D. — IBM J. Res. Dev., 1969, v. 13, p. 537—542.
- [3] Пожела Ю., Реклайтис А. Высоочастотные свойства горячих электронов в InSb. — ФТП, 1979, т. 13, в. 6, с. 1127—1133.
- [4] Price P. J. — J. Appl. Phys., 1983, v. 54, N 6, p. 3616—3617.
- [5] Price P. J. — J. Appl. Phys., 1982, v. 53, N 12, p. 8805—8808.
- [6] Price P. J. — Semicond. a. Semimet., 1979, v. 14, p. 249—308.
- [7] Матуленис А., Пожела Ю., Стариков Е. Флуктуации скорости и расплывание пакета электронов. — ФТП, 1982, т. 16, в. 4, с. 601—606.
- [8] Fawcett W., Boardmann A. D., Swain G. — J. Phys. Chem. Sol., 1970, v. 31, N 9, p. 1963—1990.
- [9] Стариков Е. В., Шикторов П. Н. Отрицательная дифференциальная проводимость n-GaAs на частоте пролетного резонанса. — ФТП, 1983, т. 17, в. 12, с. 2120—2123.
- [10] Стариков Е. В., Шикторов П. Н. Эффективность твердотельных источников излучения на основе объемных эффектов в дырочном германии. — ФТП, 1986, т. 20, в. 6, с. 1076—1082.
- [11] Полупроводниковые лазеры на циклотронном резонансе. Горький, 1986. 175 с.

Институт физики полупроводников  
АН ЛитССР  
Вильнюс

Получена 13.04.1987  
Принята к печати 13.05.1987